

CADにおける曲線曲面の創成について

穂坂 銜(東大宇航研) 黒田 满(岐阜大)

1. まえがき

この報告はCADに用いる曲線と曲面の理論について、筆者らが最近実用的見地より開発した結果について述べる。主要な成果は、与えられた点群を通るフェアやしかもC^[2]級ないわゆる滑らかさ曲線と曲面を、連立方程式を解かずとも比較的小い計算で求め得ること、必要なら与えられた境界条件を満足させられること、形状パラメーターは人の直感と比較的容易に結びつき計算機に記憶するのに便利な形であること、曲線を規定する重要なパラメーターとしての接線方向、曲率半径の変化が図式でも容易に求められること、数学的素養や特別な訓練なしで曲線曲面をグローバルにもローカルにもコントロールできることである。

このことは3.3節、4節で展開される。まず始めに準備として次節において、Bézier式の簡単な導き方やそのいくつかの性質が、筆者らの新しい表記法に従って簡潔に述べられる。3節の前半で曲線の接続問題が論じられ、特に変曲点を含まない平面曲線ならば2次曲線でも曲率まで連続可能であることが示される。更に

Bézier曲線の接続による連続性の限界が示され、これを克服する形で新しい曲線の式が極めて一般的に論じられ、特殊な場合として多項式系をとり具体的に導かれる。尚、B-spline²³⁾との関係についても簡単にふれられる。

2. Bézier 曲線

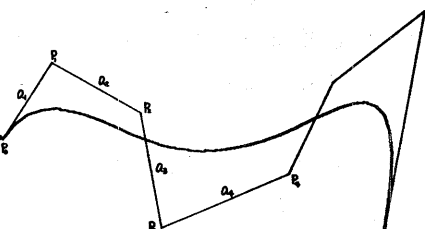
3節以後の理論展開のための準備として、すでによく知られたBézier曲線とその性質について我々の新しい表現式にもとづいて簡単に述べておこう。

曲線はFig. 2.1のように特性多角形と呼ばれるもので定義される。m次の多項式となる曲線に対してはm+1個の頂点を持つ多角形が対応する。これ等の頂点列ベクトルを p_i , $0 \leq i \leq m$, 弦列ベクトルを a_i ,

$0 \leq i \leq m$ とあらわすことにする。

$$\left. \begin{aligned} a_i &= p_i - p_{i-1}, \quad 1 \leq i \leq m. \\ a_0 &= p_0. \end{aligned} \right\}$$

(2.1)



このときBézierは各弦ベクトルの重み関数に対して、端点での微係数がその次数の増大とともに次々と隣りの弦ベクトルに關係して決定されるようになり制約条件と料している。我々はこれを△, ▽をそれぞれ前進及び後進差分作用素として次のよう書こう。

$R^{(0)}(0) = k_0 P_0, \quad R^{(0)}(1) = k_0 P_m.$
$R^{(1)}(0) = k_1 \Delta P_0, \quad R^{(1)}(1) = k_1 \nabla P_m.$
$R^{(m)}(0) = k_m \Delta^m P_0, \quad R^{(m)}(1) = k_m \nabla^m P_m.$

(2.2)

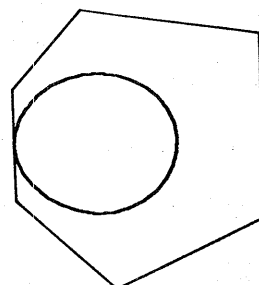


Fig. 2.1 Examples of Bézier-curve

係数列 $\{k_i\}$ を単純化のために

$$k_i = \frac{n!}{(n-i)!}, \quad i=0, 1, 2, \dots \quad (2.3)$$

とすれば曲線はシフトオペレータEを導入して次のように簡潔に記述できる。

$$R(t) = (1-t+Et)^n P_0. \quad (2.4)$$

$$= \sum_{i=0}^n P_i f_i(t) (1-t)^{n-i} = \sum_{i=0}^n P_i f_i(t) = \sum_{i=0}^n a_i g_i(t). \quad (2.5)$$

(2.4)式は極めて表現力豊かな式であり、Bézier曲線の全ての性質はほとんど自明のこととして導かれれる。もしも Bézier のオリジナルな式と導くのなら、

$$R(t) - P_0 = \frac{E-1}{E-1} \{(1-t+Et)^n - 1\} P_0 = \sum_{i=0}^{n-1} \frac{1}{i!} \psi^{(i)}(0) E^i a_i.$$

但し

$$\psi(E) \equiv \frac{\{1+(E-1)t\}^{n-1}}{E-1} = -\frac{(1-x)^{n-1}}{x}. t \equiv \phi(x), t, x \equiv (1-E)t. \quad (2.6)$$

従つて次のように得られる。

$$R(t) = P_0 + \sum_{i=1}^n \frac{(-t)^i}{(i-1)!} \frac{d^{i-1}}{dt^{i-1}} \phi(t) a_i. \quad (2.7)$$

区間 $[0, 1]$ で定義される関数系 $\{f_i(t)\}$ は Bernstein の多項式系と呼ばれると線形独立である。(2.4)式において $E = P_0 = 1$ とおけば

$$\sum_{i=0}^n f_i(t) = 1. \quad (2.8)$$

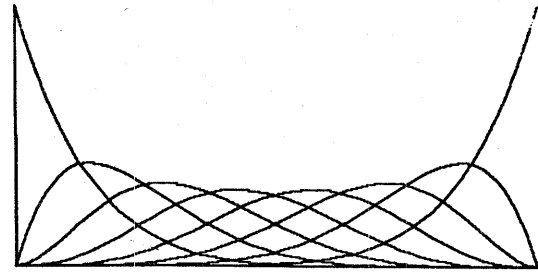


Fig. 2.2 The Bernstein basis functions of degree 3

なる Cauchy の条件は自明であり、従つて曲線は座標軸のとり方に依存しない。又、そもそもの定義から明らかのように曲線は対称である。

$$f_i(t) = f_{n-i}(1-t). \quad (2.9)$$

$$\text{更に } f_i(t) \geq 0, \quad 0 \leq t \leq 1, \quad f_i^{(0)}(\frac{i}{n}) = 0, \quad 1 \leq i \leq n-1, \quad (2.10)$$

だから、頂点 P_i はパラメータ値 $t = i/n$ で曲線 $R(t)$ の形状に最大の影響をおよぼし、かつ他の点に対しても好ましく ($\{f_i(t)\}$ が負の値をとらないことは重要) 作用することができる。関数系 $\{f_i(t)\}$ の様子は Fig. 2.2 のようである。(2.4) 式から Bézier の示した曲線の図式構成法は自明のことである。

また、 n 次の Bézier 曲線は 2^n の $n-1$ 次の Bézier 曲線の線形内挿されたものであることも自明である。今 (2.2), (2.3) 式により

$$P_i = (1+E-1)^i P_0 = \frac{1}{n!} \sum_{j=0}^i (n-j)! j! C_j R^{(j)}(0), \quad P_{n-i} = \frac{1}{n!} \sum_{j=0}^i (-1)^j (n-j)! j! C_j R^{(j)}(1). \quad (2.11)$$

$$\text{従つて } R(t) = \sum_{i=0}^k P_i f_i(t) + \sum_{i=0}^k P_{n-i} f_{n-i}(t) = \sum_{j=0}^k \{R^{(j)}(0) P_j f_j(t) + R^{(j)}(1) P_j f_j(t)\}, \quad n = 2k+1. \quad (2.12)$$

$$\left. \begin{aligned} P_j(k, t) &= \frac{1}{j!} \sum_{i=0}^{k-j} C_i t^{i+j} (1-t)^{n-i-j} \\ Q_j(k, t) &= \frac{(-1)^j}{j!} \sum_{i=0}^{k-j} n_j C_i t^{n-i-j} (1-t)^{i+j} \end{aligned} \right\} \quad j = 0, \dots, k \quad (2.18)$$

これは筆者の一人穂坂がすでに提案していた式⁴⁾である。

3. 曲線の接続

前節における曲線は諸種の特徴をもつて複雑な形状を表現するための次数の増大は避けがたい。こゝ一つの解決法として付録1. のような有理多項式系を用いることもできる。ここでは曲線のカバーするクラスを広げるためにも、計算機による記憶と処理に関する制約からも、いくつかの曲線要素を接続して所望の曲線を得るという立場をとる。しかしながらパラメトリックな曲線の接続に関する、接続点での連続性が Cartesian 座標系で厳密に議論されたことは稀であった。本節においては工学的に重要な2次までの連続条件について論ずる。今、次のようないくつかの曲線 $R_I(t)$, $R_{II}(t)$ が接続されるとする。

$$R_I(t) = \sum_{i=0}^m \alpha_i^I g_i(t) = \sum_{i=0}^m P_i^I f_i(t), \quad R_{II}(t) = \sum_{i=0}^n \alpha_i^{II} g_i(t) = \sum_{i=0}^n P_i^{II} f_i(t). \quad (3.1)$$

曲線素による微分をダッシュ、 t による微分をドットで示すこととすれば、

$$R' = \frac{\dot{R}}{\sqrt{R \cdot \dot{R}}}, \quad R'' = \frac{1}{P} = \frac{\ddot{R}(\dot{R} \cdot \ddot{R}) - \dot{R}(\dot{R} \cdot \ddot{R})}{(\dot{R} \cdot \ddot{R})^2}. \quad (3.2)$$

ここで $A_i \equiv |a_i|$, $\alpha_i \equiv a_i/A_i$ と記すことにし、(2.2) 式を考慮すれば Cartesian 座標系での2次までの連続条件は、

$$P_m^I = P_0^{II}, \quad (3.3)$$

$$\alpha_m^I = \alpha_1^{II}, \quad (3.4)$$

$$\frac{m-1}{m(A_m^I)^2} \{ \alpha_m^I (\alpha_m^I \cdot \alpha_{m-1}^I) - \alpha_{m-1}^I \} = \frac{n-1}{n(A_1^{II})^2} \{ \alpha_1^{II} (\alpha_1^{II} \cdot \alpha_2^{II}) - \alpha_2^{II} \}. \quad (3.5)$$

(3.5)式からベクトル $\{ \alpha_m^I (\alpha_m^I \cdot \alpha_{m-1}^I) - \alpha_{m-1}^I \}$, $\{ \alpha_1^{II} (\alpha_1^{II} \cdot \alpha_2^{II}) - \alpha_2^{II} \}$ が平行あるいはゼロ、即ち α_{m-1}^I , α_m^I , α_1^{II} , α_2^{II} が共面ベクトルかつ

$$\frac{m-1}{m} \frac{A_{m-1}^I}{(A_m^I)^2} \sin \theta_I = \frac{n-1}{n} \frac{A_2^{II}}{(A_1^{II})^2} \sin \theta_{II}. \quad (3.6)$$

であることが必要条件である。但し、 θ_I , θ_{II} はそれ自身ベクトル α_{m-1}^I , α_m^I 及び α_1^{II} , α_2^{II} のなす角である。

3.1 連続条件の幾何学的意味

(3.3), (3.4), (3.5)を満たすような幾何学的作図法を考えてみるに、簡単のため $m = n$ を仮定する。

- P_i^I が与えられている場合

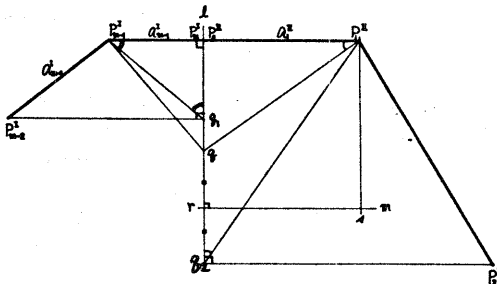


Fig. 3.1 The geometric construction for satisfying continuity conditions

Fig. 3.1 のように点 P_{m-1}^I を通り α_m^I に平行な直線と直線 l との交点を Q_1 とする。 $\angle P_{m-1}^I Q_1 P_m^I = \angle P_m^I P_m^II Q_1$ となるように l 上に Q_1 をとる。更に、 $\angle Q_1 P_2^I P_2^II = \angle P_2^I Q_2 P_2^II$ となるよう l 上に Q_2 をとる。 Q_2 を通り α_2^I に平行な直線上に P_2^II があればよい。

iii) P_2^II が与えられている場合

i) 同様にして Q_1, Q_2 を決める。 P_2^II を通り α_m^I に平行な直線と l との交点を Q_2 とする。 l' は $Q_1 Q_2$ の中点とし、 l は Q_1 を中心とし半径 $P_2^I l'$ の円が直線 m と交じわる点とする。このとき P_2^II は l 上に平行な直線と α_m^I の延長との交点として求まる。

尚、上記の作図法において各点はこのとき曲率中心であり、図式に接線方向や曲率半径を知ることができるのは曲線形状をとらえる上で極めて重要である。

このようにして連続条件を満足させるように頂点列を選んでいく方法は、計算機とインターラクティグに作業しながら逐次的に曲線形状を決定していくようは側面で有用なものとだろう。

3.2 曲率連続が 2 次、3 次の曲線接続法

一般に 2 次曲線の曲率は 1 つの定数となるが、それでもこれをいくつかの曲線セグメントにわたって連続に結合することは制限条件付きで可能で、連立方程式を解く形で実現される。これが 3 次曲線になれば 2 つの定数の組み合せになり充分な自由度をもつため、結合のための影響は他へ伝ばずすることではなく局所的に処理可能である。以下は多角形を使った場合のこれらのシステムティックな方法について述べる。

i) 2 次 - 2 次の接続

2 次の曲線要素を Fig. 3.2 のように曲率まで連続に接続するのに、各弦 a_i を比 $x_i : (1-x_i)$ に内分する点が曲線の接続点となるとすれば (3.6) 式より

$$\begin{aligned} \left(\frac{x_2}{1-x_2}\right)^2 \frac{x_3}{1} &= B_2, \\ \left(\frac{x_i}{1-x_i}\right)^2 \frac{x_{i+1}}{1-x_{i-1}} &= B_i, \quad i=3, \dots, n-2, \\ \left(\frac{x_{n-1}}{1-x_{n-1}}\right)^2 \frac{1}{1-x_{n-2}} &= B_{n-1}. \end{aligned} \tag{3.7}$$

$$B_i = \frac{A_{i-1} \sin \theta_{i-1}}{A_{i+1} \sin \theta_i}, \quad i=2, \dots, n-1. \tag{3.8}$$

この非線形連立方程式は一般に解析的には解けない。しかし、次の (3.9) 式をオイ近似として (3.7) 式を繰り返し計算することによって元々は解に急速に収束する。

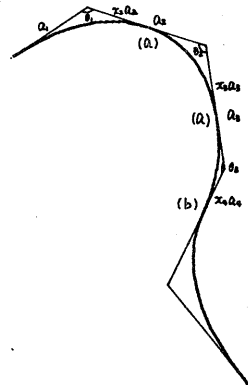


Fig. 3.2 The second degree curve segments

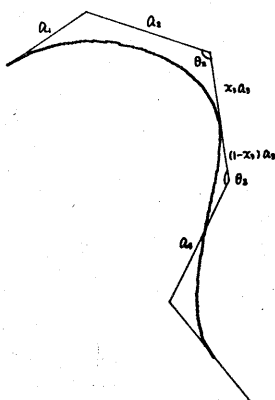


Fig. 3.3 The third degree curve segments

$$x_i = \frac{\sqrt{B_i}}{1 + \sqrt{B_i}}, \quad i = 0, \dots, n.$$

(3.9)

かくて得られる2次曲線の列は(3.5)式から平面曲線に限定され、かつ曲率半径の絶対値が連続であるようなものでありFig. 3.2(a), (b)のいずれかの場合である。従ってこのことをよく理解して使うならば、創成方法の単純さと相俟つて利用度の高いものであるといえる。例えば、通常人と人が情報伝達の手段として使う程度の図の場合、これは充分すぎるといえよう。

ii) 3次-3次の接続

この場合には(3.7)式のような非線形連立方程式を解く必要はなく、その代り近似(3.9)式そのものが解となる。従ってこのようにして合成された曲線の一部分の形状変更、修正は全体の形状に影響をおよぼすことなく局部的に処理できる。又、i)の場合と違つて変曲点を含むことがでてくるため、より一層広いクラスの曲線を表現できる。しかし、(3.5)式の制約条件を忘れることはできない。

3.3 接続時の連続性を考慮して定義される曲線

(3.5)式の条件はBézier曲線の接続における連続性の限界を示すものである。これを克服するため、本節では曲線は接続点を含め、その他の点をあれ、常に前後の頂点列から等しく影響を受けながら決定されると考え、接続条件をそれ自身の中に含むような曲線の式が一般的に展開される。これによつてはじめに述べたのは厄介な接続問題から開放される。

与えられた点列 $\{P_i\}$ において点 P_0 から始まる $n+1$ 個の点列と、それを一つシフトした P_{i+1} から始まる $n+1$ 個の点列のそれそれによつて決定される2つの曲線セグメントが接続点で $C^{[m-1]}$ 級であるようは基底関数系 $\{f_i(t)\}$ の満たすべき条件は、

$$f_0^{(j)}(1) = 0, \quad j = 0, 1, \dots, m-1. \quad (3.10)$$

$$f_n^{(j)}(0) = 0, \quad j = 0, 1, \dots, m-1. \quad (3.11)$$

$$f_{i+1}^{(j)}(1) = f_i^{(j)}(0), \quad j = 0, 1, \dots, m-1. \quad (3.12)$$

(3.11)式を満たす関数を $f_i(t)$ とすれば $\{b_i\}$ を定数とし(3.12)式より

$$f_i(t) = f_{i+1}(1-t) + b_{m-i} f(t). \quad (3.13)$$

$$\left. \begin{aligned} & \therefore f_m(t) = b_0 f(t), \\ & f_{m-1}(t) = b_0 f(1-t) + b_1 f(t), \\ & \cdots \cdots \cdots \\ & f_1(t) = b_0 f(n-1-t) + b_1 f(n-2-t) + \cdots + b_{m-1} f(t). \end{aligned} \right\} \quad (3.14)$$

Cauchyの条件より

$$f_0(t) = 1 - \sum_{j=0}^{n-1} b_j \sum_{i=0}^{n-j-1} f(i+t). \quad (3.15)$$

もしも(3.10)式の条件を考慮すれば $\{b_i\}$ は決定される。 $f(t)$ は(3.11)式を満たす

すともうならば何でもよいわけだが、ここでは特に $f(t) = t^m$ をとねば。

$$\left. \begin{array}{l} \sum_{i=1}^n \bar{b}_i i^m = 1, \\ \sum_{i=1}^n \bar{b}_i i^{m-j} = 0, \quad j=1, \dots, n-1. \end{array} \right\} \quad (3.16)$$

但し

$$\bar{b}_i \equiv \sum_{j=0}^{n-i} b_j, \quad i=1, \dots, n. \quad (3.17)$$

ここで次の恒等式を x で n 回微分して $x=0$ とすれば (3.18) 式を得る。

$$(1-e^x)^n = \sum_{i=0}^n (-1)^i {}_n C_i e^{ix}. \\ \sum_{i=1}^n (-1)^i {}_n C_i i^m = (-1)^n n!, \quad \sum_{i=1}^n (-1)^i {}_n C_i i^j = 0, \quad j < n. \quad (3.18)$$

(3.16) 式と比較して

$$\bar{b}_i = (-1)^{n-i} \frac{{}_n C_i}{n!}, \quad \bar{b}_{n-i} - \bar{b}_{n-i+1} = b_i = (-1)^i \frac{{}_n C_i}{n!}, \quad i=0, \dots, n-1. \quad (3.19)$$

$\{f_i(t)\}$ の対称性から

$$f_0(t) = f_n(1-t) = \frac{1}{n!} (1-t)^n.$$

ここで更に次のようは恒等式を x で n 回微分して $x=0$ とおけば (3.21) 式を得る。

$$(e^x - 1)^{n+1} e^{(i-n-1+t)x} = \sum_{j=0}^{n+1} (-1)^j {}_{n+1} C_j e^{(i-j+t)x}. \\ \sum_{j=0}^{n+1} (-1)^j {}_{n+1} C_j (i-j+t)^n = 0, \quad 0 \leq i \leq n. \quad (3.21)$$

従つて一般に

$$f_{n-i}(t) = \frac{1}{n!} \sum_{j=0}^i (-1)^j {}_{n+1} C_j (i-j+t)^n = \frac{1}{n!} \sum_{j=i+1}^{n+1} (-1)^{j+1} {}_{n+1} C_j (i-j+t)^n, \quad i=0, \dots, n. \quad (3.22)$$

又、 $n-i$ を $i= n+1-j$ とすると度数度換すれば

$$f_i(t) = \frac{1}{n!} \sum_{j=0}^i (-1)^j {}_{n+1} C_j (i-j+1-t)^n, \quad i=0, \dots, n. \quad (3.23)$$

この基底関数系を用いて定義される曲線 $R(t)$ をも L Bézier 曲線として表現するすれば、対応する頂点列 $\{P_i\}$ は (2.12) 式を用いて次のように求まる。

$$P_i = \frac{1}{n!} \sum_{k=0}^n P_k \sum_{l=0}^k (-1)^{k-l} {}_{n+1} C_{k-l} (l+1)^{n-k} l^i, \quad i=0, \dots, n, \text{ 但し } 0^0 = 1. \quad (3.24)$$

従つて例えれば曲率連続な3次曲線は -

$$R(t) = \frac{1}{6}(1-t)^3 P_{i-1} + \left\{ \frac{1}{6}(2+t)^3 - \frac{2}{3}(1+t)^3 + \frac{1}{6}t^3 \right\} P_i \\ + \left\{ \frac{1}{6}(1+t)^3 - \frac{2}{3}t^3 \right\} P_{i+1} + \frac{1}{6}t^3 P_{i+2}. \quad (3.25)$$

であり、

$$P_{i-1} + \frac{1}{6}(A_i - A_{i-1}), P_i + \frac{1}{3}A_i, P_i - \frac{1}{3}A_i, P_i + \frac{1}{6}(A_{i+1} - A_i)$$

なら 4 点を頂点とする 3 次の Bézier 曲線とも考えられる。

このとき接続点における曲率中心 \bar{O} は Fig. 3.4 のように容易に作図することができる。

即ち、(3.2) 式エリ

$$\frac{1}{r} = \frac{1}{R^2} \left\{ \ddot{R} - \frac{\dot{R}}{|R|} \left(\frac{\dot{R}}{|R|}, \ddot{R} \right) \right\} \equiv \frac{x}{R^2}. \quad (3.26)$$

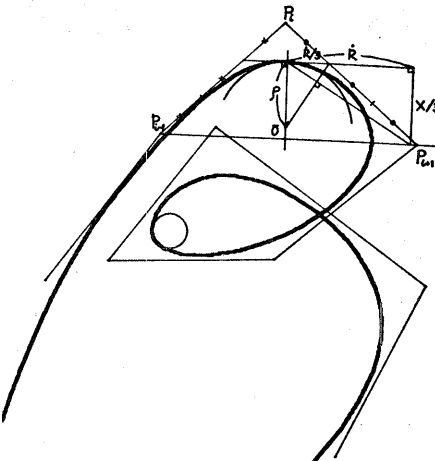


Fig. 3.4 The new curve of degree 3 and radii of curvature

この方法によればこのように、点、接線方向、更に長さのディメンジョンをもつた量としての曲率半径といった、曲線を規定する重要なパラメータの変化のようすが図式的に簡単に求められて、形状の把握とコントロールを容易にした。このようなことはかつて無かったことであり曲線のあてはめ、設計にとつて非常に重要なことである。更に、曲線は各セグメントにわたって同じ重み関数を用いるため、そのテーブルを作つておけば極めて単純な計算だけから生成することが可能である。

ところで (3.22), (3.23) 式による曲線は B-spline³⁾ のクラスの中の full-spline 曲線と呼ばれるものである。事実、次数 3 の場合の B-spline 基底関数を我々流の手法で整理して示せば、

$$N_{i,4}(t) = \frac{1}{3!}(i+t)^3 N_{i,1}(t) + \frac{1}{3!} \left\{ (i+2+t)^3 - 4(i+1+t)^3 \right\} N_{i+1,1}(t) + \frac{1}{3!} \left\{ (i+4+t)^3 - 4(i+3+t)^3 + (i+2+t)^3 \right\} N_{i+2,1}(t) + \frac{1}{3!} (i+4-t)^3 N_{i+3,1}(t). \quad (3.27)$$

$$Q(t) = \sum_i P_i N_{i,4}(t).$$

曲線 $Q(t)$ における一つの曲線セグメントとして $N_{0,1}(t)$ の係数だけを取り出せば、(3.25) 式の $i = -2$ とした場合と一致する。しかし CAD への応用といった立場からはここでの定式化に従つた方がはるかに便利である。

4. 逆変換問題及び応用例

3.3 節による曲線は、その発生方法から自づとスムージングの性質を備えているとか、接続の問題を意識してなくてよいとか、コントロールが局所的にも大域的にも可能だとか、適度にインセンシティグだとか数多くの特徴を備えているが、これらの根源的由来は曲線を定義するパラメータとしての点群を曲線上からはずしたところにあった。このため形状の入力がやや人の直感からはずれることとなつたし、対称によつてはこのような特性多角形の決定がむずかしいが面倒な場合も多々ある。例えは、クレイモデル等からとられたいわゆる測定データとといったものが基礎にTF つて、曲線曲面のあてはめ、設計を行なおうとするよう

場合がそれであらう。その意味では曲線上の点列をよえて逆に頂点列を求めるという逆変換問題は重要である。しかし、そもそもこの曲線によるあとはめを目論む裏には、得られた多角形をコントロールして形状変更することが前提として潜んでいると考えられる。従ってこの種の逆変換問題を正確に解くために多大の努力が払われるとしてもそれはむくわれないだらう。従って我々は、曲線上の线条の注目するところから自由にこの逆変換を行なっていって、制約の少なくなる所で適当に切って捨てるか、予め仮想の点をいくつかよえておいて処理するような方法を考えた。結果、近似的には図式にこれを行なうことも可能となつた。

今、曲線が通過すべき点列 $\{r_i\}$ が与えられると頂点列 $\{P_i\}$ を求めるのは、 $\{r_i\}$ の一点が頂点列 $\{P_i\}$ の決定にどう

のような影響を与えるか調べてみる。

さて、

$$\begin{aligned} P_3 + 4P_1 + P_0 &= 0, \\ P_1 + 4P_0 + P_1 &= 6r_0, \\ P_0 + 4P_1 + P_2 &= 0, \\ P_{i+1} + 4P_i + P_{i-1} &= 0. \end{aligned}$$

(4.1)



この式の同次方程式の解は

$$(\sqrt{3} \pm 2)^i, \quad i = 0, 1, \dots$$

r_0 の影響は無限遠で収束すべきだから、

$$P_0 = \sqrt{3}r_0, \quad P_i = \sqrt{3}r_0 (\sqrt{3} \mp 2)^i, \quad i = \pm 1, \pm 2, \dots \quad (4.2)$$

ところと $(2 - \sqrt{3})^i \leq 10^{-5}, i \geq 4$.

だから次のようになる近似と充分である。

$$P_i = \sqrt{3}r_0 + \sqrt{3} \sum_{j=1}^3 (\sqrt{3} - 2)^j (Y_{i-j} + Y_{i+j}). \quad (4.3)$$

これを図式に行なって見当をつけたいのであれば Fig. 4.3 のようだ。前の近似で得られた $P_i^{(1)}$, $P_i^{(2)}$ を使って $P_i^{(3)}$ が求められる。右肩の添字は繰り返し回数で $\{P_i^{(k)}\}$ 位で充分であろう。 $i^{(k)}$ はすでに $i+1$ があればそれを使うべきことを示している。もし境界条件が与えられている

ならばその近傍で (4.1) 式風な計算と 1 回ねあ $P_i^{(4)}$ もせらうか、連立方程式を解かなければならぬ。境界条件が簡単で意味があり、解析解が得られる 2, 3 の例を付録 2 に示した。尚、その他、接線や 2 次の微係数の指定、冗長な頂点を持ち込んだ場合等の組み合わせた境界条件についても

Fig. 4.1 The new curve

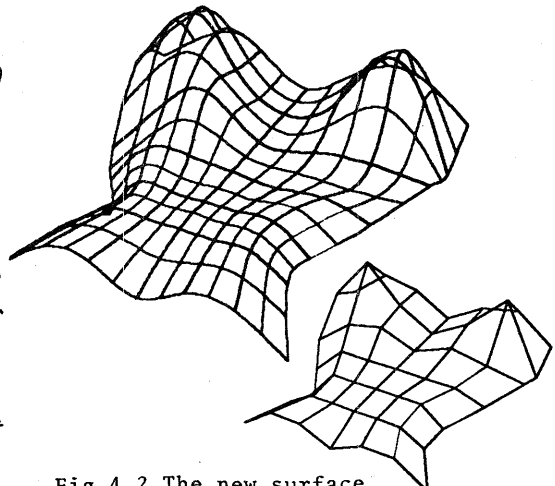


Fig. 4.2 The new surface

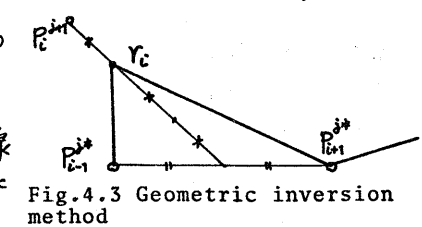


Fig. 4.3 Geometric inversion method

数値計算法の手続きによって求められるのが適当であろう。いずれにしても境界条件の影響のおよぶ範囲内だけの次数の行列をよいし、また対角要素近傍に大きな数が現われるため計算は容易である。Fig. 4.1はこのようにして得られた曲線の例である。曲線は複雑で、対応する多角形を曲線から予想することはかなり困難で面倒である。このようなとき、曲線上の点をとえて多角形を求める意味が生ずる。Fig. 4.1では60個ほどの入力点も表示されている。尚、この方法は容易に曲面にまで展開できる。つまり曲面が通過すべき $m \times n$ 個の多面体状頂点群 $\{r_{ij}\}$ が与えられたとき、以上述べてきたような交換法を形式的にマトリックスで $S_{m \times m}$, $T_{m \times n}$ と書けば、特性多面体 $\{P_{ij}\}$ は、

$$\{P_{ij}\} = S_{m \times m} \{r_{ij}\} T_{m \times n} \quad (4.4)$$

と得られる。この式は形式的表現であって実際のマトリックス計算を意味するものではないことを重ねて注意する。このときの曲線の例がFig. 4.2である。

更に、応用上の問題点としては、セグメント間のパラメータのスケールの問題が考慮されなければならぬ。数学的には充分でも実用的には不都合な形を示す。例えば、(3.26) 式及び Fig. 3.4 から P_i と直線 $P_{i-1} P_{i+1}$ の距離が一定でさえあれば頂点がどのように動いても対応する曲率半径は一定となる。この問題や、多重頂点、直線上に並んだ頂点列といったものによる特異点の表現、あるいは更に、コントローラビリティを上げるために冗長な頂点を付加するといった事柄、その他については本方法の実際問題への適用例と共に稿を改めて報告する。

5.まとめ

この報告では CAD における形状記述の問題として、新しい曲線曲面の基礎理論を展開した。人と計算機とのインターフェイスとして、かなり使用にたえられるものにまで高めることができたと思う。実際問題への適用にともない発生する種々の問題点とその解決法については、その適用例と共に稿を改めて報告する予定である。尚、日頃熱心に御検討、御協力いただき研究室の皆さんと、電総研の木村文彦氏に感謝致します。

付録1. 有理多項式系を重み関数とする曲線

次のような有理多項式を考える。

$$G(t, \alpha) = \frac{(1-\alpha)t^2 + \alpha t}{t^2 - (2-\alpha)\alpha t + \alpha} \quad \left. \right\} \quad (\text{付1})$$

$$G(0, \alpha) = 0, \quad G(1, \alpha) = 1, \quad G'(0, \alpha) = \alpha, \quad G'(1, \alpha) = 0$$

ここで $t=0$ ならば $G(1-t, 1-\alpha) = 1-G(t, \alpha)$ となり $G(t, \alpha)$ は対称である。もし $\alpha_i, i=1, \dots, n$ ($0 \leq \alpha_i \leq 1$) が適当に選ばれるとすれば $\{G(t, \alpha_i)\}$ は線形独立なことが容易に示される。いま

$$\begin{aligned} g_i(t) &\equiv G(t, \alpha_i), \\ f_i(t) &\equiv g_i(t) - g_{i+1}(t), \quad i=0, \dots, n, \\ g_0(t) &\equiv 1, \quad g_{n+1}(t) \equiv 0. \end{aligned} \quad \left. \right\} \quad (\text{付2})$$

とすれば区間 $[0, 1]$ において $f_i(t) \geq 0$ である。当然のこととして Cauchy の条件は成立する。曲線はこのとき

$$R(t) = \sum_{i=0}^n a_i g_i(t) = \sum_{i=0}^n p_i f_i(t). \quad (\text{付.3})$$

もし、 $t = i/m$ において $f_i(t)$ が最大値となるように a_i を決定したいのであれば、
 $f'_i(\frac{i}{m}) = 0$ の計算から

$$a_i a_{i+1} \left(\frac{i}{m} - 1 \right)^4 - (1 - a_i)(1 - a_{i+1}) \left(\frac{i}{m} \right)^4 = 0. \quad (\text{付.4})$$

従つマカルが奇数なら $\alpha_{\frac{n+1}{2}} = \frac{1}{2}$ として(付.4)から $\{a_i\}$ を決定すればよい。この曲線の例を $\{f_i(t)\}$ と共に Fig. 1 に示す。

付録2. 境界条件が与えられた逆変換問題の解析解の例

以下で基本となる n 次の行列式は

$$N_n = \begin{vmatrix} 4 & 1 & & \\ 1 & 4 & 1 & 0 \\ & 1 & 4 & 1 \\ & & 1 & 4 & 1 \\ & & & 1 & 4 \\ 0 & & & & 1 \end{vmatrix} = 4N_{n-1} - N_{n-2} = \frac{(2+\sqrt{3})^{n+1} - (2-\sqrt{3})^{n+1}}{2\sqrt{3}} = \frac{\sinh(n+1)\alpha}{\sinh \alpha}, \cosh \alpha = 2. \quad (\text{付.5})$$

A. 端点で曲率がゼロとなる場合

1. $P_0 = (P_0 + P_1)/2 = r_1, P_m = (P_{m-1} + P_m)/2$ とおく。このとき

$$\begin{bmatrix} 4 & 1 & 0 \\ 1 & 4 & 1 \\ 0 & 1 & 4 \\ 1 & 4 & 1 \\ 0 & 1 & 4 \\ P_2 & P_3 & P_{n-2} & P_{n-1} & P_n \end{bmatrix} = \begin{bmatrix} 6r_2 - r_1 \\ 6r_3 \\ 6r_{n-2} \\ 6r_{n-1} - r_n \end{bmatrix}, \quad \begin{bmatrix} P_2 \\ P_3 \\ P_{n-2} \\ P_{n-1} \\ P_n \end{bmatrix} = \begin{bmatrix} (-1)^{i+j} N_{i-1} N_{n-2-j} \\ \hline N_{n-2} \\ 6r_2 - r_1 \\ 6r_3 \\ 6r_{n-2} \\ 6r_{n-1} - r_n \end{bmatrix}. \quad (\text{付.6})$$

但し $i \leq j$

2. $P_0 = P_1, P_m = P_{m-1}$ とおく場合

$$\begin{bmatrix} 5 & 1 & 0 \\ 1 & 4 & 1 \\ 0 & 1 & 4 \\ 1 & 4 & 1 \\ 0 & 1 & 5 \\ P_1 & \vdots & P_n \end{bmatrix} = \begin{bmatrix} 6r_1 \\ \vdots \\ 6r_m \end{bmatrix}, \quad \begin{bmatrix} P_1 \\ \vdots \\ P_n \end{bmatrix} = \begin{bmatrix} (-1)^{i+j} (N_{i-1} + N_{i-2}) (N_{m-i} + N_{m-1-i}) \\ \hline N_{n-1} \\ r_1 \\ \vdots \\ r_m \end{bmatrix}. \quad (\text{付.7})$$

但し $i \leq j$

B. 固曲線となる場合

$$\begin{bmatrix} 4 & 1 & 0 & 1 \\ 1 & 4 & 1 & 0 \\ 0 & 1 & 4 & 1 \\ 1 & 0 & 1 & 4 \\ 1 & 1 & 4 & 1 \\ P_1 & \vdots & P_n \end{bmatrix} = \begin{bmatrix} 6r_1 \\ \vdots \\ 6r_n \end{bmatrix}, \quad P_i = 6 \sum_{j=1}^n (-1)^{i+j} \frac{N_{m+1-i-j} + (-1)^n N_{i+j-3}}{N_{n-1} - N_{n-2} + (-1)^n 2} r_j, \quad i=1, \dots, n. \quad (\text{付.8})$$

但し N_i, i の計算においては $m \bmod n$ がとられる。

[参考文献]

- 1) Bezier, P.E.: Numerical control-mathematics and applications. Wiley, London 1972
- 2) Curry, H.B. and Schoenberg, I.J.: Abstr. Bull. Amer. Math. Soc., Vol. 53 (1947) 1114
- 3) Riesenfeld, R.F.: Ph. D. Thesis, Syracuse Univ., 1973
- 4) 稲垣：情報処理, Vol. 10, No. 3, pp. 121-131, 1967

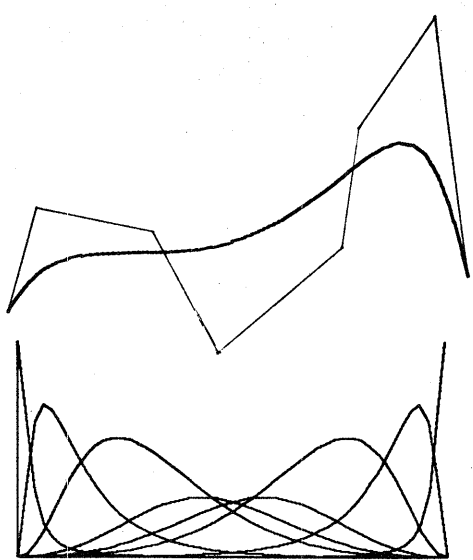


Fig. 1 A curve and its rational polynomial waiting functions